

(335) $\text{Na}_2\text{O} \cdot 2\text{CaO} \cdot \text{P}_2\text{O}_5$ の生成および安定温度域

塩基性キャスタブルの開発 - I

日本鋼管㈱技術研究所 ○小林基伸 宮本 明

1. はじめに

長鎖構造を有するガラス質の縮合リン酸ナトリウム塩 ($\text{Na}_{23}\text{P}_{21}\text{O}_{64}$) とライムとの反応によって得られるナトリウムレーナタイト ($\text{Na}_2\text{O} \cdot 2\text{CaO} \cdot \text{P}_2\text{O}_5$) 相が低シリカ塩基性骨材のバインダーとして高温強度を与える事は良く知られている。^{1~2)} しかし、原料中の SiO_2 含有量が 1% を越えると、1300 °C 以上でナトリウムレーナタイトボンド(以下 NCP とする)が破壊され、急激に強度が低下する。著者等もマグ・クロスタンプ材に適用し、この現象を確認している。³⁾ そこで、この制約を緩和し、適用骨材の範囲拡大と共に、塩基性キャスタブルへの適用を図るべく、NCP ボンドの生成条件、シリカとの反応等、一連の基礎的特性を明らかにした。こゝでは、まず、NCP 相の生成、安定温度域を報告する。

2. 実験方法

縮合リン酸ナトリウム塩として FMC 社のガラス H を、ライム源として試薬特級の CaCO_3 を用い、いずれも 44 μ 以下に粉碎後、NCP の化学当量に配合。乾燥混合の後、400 kg/cm² の圧力で成形し、30 mm φ × 10 mm h のペレットとした。ペレットは白金 80% - ロジウム 20% のるつぼ内に入れ、電気炉で 5 °C/min で昇温し、350 ~ 1800 °C の各温度で 5 時間、大気下で保持した。加熱、冷却後、X 線回析、SEM により生成相の解析を行なった。また、他のリン酸ナトリウム塩による NCP 合成についても検討した。

3. 実験結果と考察

図 1 に各温度における生成相を X 線回析にもとづき、半定量的に示した。

1) CaCO_3 は 400 °C 前後から分解し始め、850 °C 以上では完全に分解を終了するが、分解生成物の CaO は遊離には存在せず、すべてリン酸塩と反応する。2) 350 °C ~ 850 °C においては、中間生成物として $(\text{NaPO}_3)_3$ 、5 $\text{Na}_2\text{O} \cdot 3\text{P}_2\text{O}_5$ (以下 N_5P_3 とする)、 $\text{Na}_2\text{O} \cdot \text{CaO} \cdot \text{P}_2\text{O}_5$ (同 NCP) の 3 相が存在する。3) NCP は 600 °C より生成し始め、750 °C 以上では主成分となり、1800 °C においても主成分として存在する。但し、1550 °C から一部分解し、0.6 $\text{Na}_2\text{O} \cdot 2.4\text{CaO} \cdot \text{P}_2\text{O}_5$ (以下 $\text{N}_{0.6}\text{C}_{2.4}\text{P}$ とする) に変る。Venable 等は、NCP は 800 °C で生成し始め、1500 °C で分解し $3\text{CaO} \cdot \text{P}_2\text{O}_5$ に変るとしているが、大気下での NCP の安定範囲は、はるかに広い事が分った。以上の結果から、NCP の生成過程は次の如くと推定される。

1) ガラス H の熱分解により、長鎖の中間は $(\text{NaPO}_3)_3$ に、端部は N_5P_3 に変る。2) CaCO_3 の熱分解により生成した CaO は、直ちに両者と反応して NCP 又は NCP となり、NCP は温度の上昇と共に CaO と反応して NCP になり、NCP は少くとも 1800 °C まで安定と思われる。また NCP の結晶粒は 850 °C で既に 1300 °C と同程度となり、粒径 10 ~ 20 μ 以上となるが、1700 °C から巨大化が進む。

文献 1) W. S. Treffner 他, Am. Ceram. Soc.

Bull. Vol. 49, 7, p 652 ~ 657, 1970

2) C. L. Venable 他, ibid., Vol. 49, 7, p 660 ~ 663, 1970

3) 日本鋼管技術研究所, 第 22 回耐火物部会資料, 1977

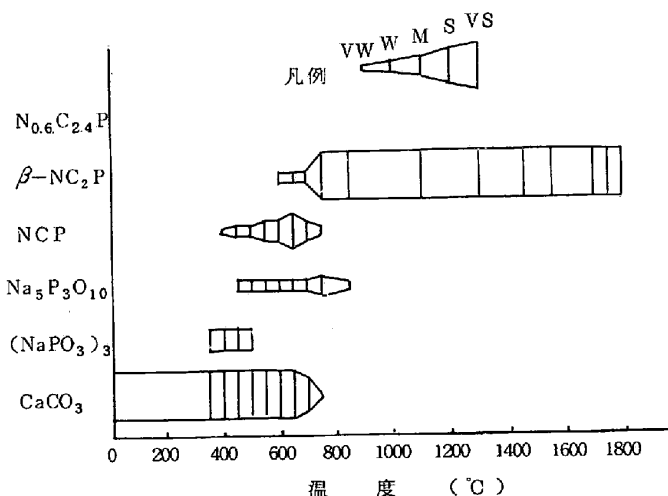


図-1 ガラス H と CaCO_3 の反応生成物温度変化